

## نانواستراتیگرافی و پالئواکولوژی گذر سازندهای شوريجه - تیرگان در دو برش مزدوران و کلات (شرق حوضه کپه داغ)

لیدا خدادادی، دانشجوی دکتری دانشگاه فردوسی مشهد\*  
فاطمه هادوی، استاد، گروه زمین شناسی دانشگاه فردوسی مشهد  
بهنام رحیمی، استادیار، گروه زمین شناسی دانشگاه فردوسی مشهد

### چکیده

مرز سازندهای شوريجه و تیرگان در شرق کپه داغ در دو برش کلات و مزدوران بر مبنای نانوفسیلهای آهکی<sup>۱</sup> مورد بررسی قرار گرفت. در این مطالعه ۱۵ جنس و ۲۲ گونه در برش کلات و ۱۴ جنس و ۲۰ گونه در برش مزدوران شناسایی گردید.

با توجه به اولین و آخرین حضور گونه های شاخص و تجمع فسیلی همراه، بایوزون CC5<sup>۲</sup> از زون بندی Sissingh (1977) با محدوده ی زمانی هوتروین پسین - باریمین آغازین<sup>۳</sup> برای این مرز در دو برش مزدوران و کلات پیشنهاد می گردد. بر اساس شمارش گونه های شناسایی شده و تفاسیر پالئواکولوژی<sup>۴</sup> بخش تحتانی سازند تیرگان (مرز شوريجه - تیرگان)، در عرض جغرافیایی پایین تا متوسط نهشته شده و حوضه ی رسوبی مذکور کم عمق و گرم بوده است.

**واژه های کلیدی:** نانواستراتیگرافی، پالئواکولوژی، کپه داغ، تیرگان، شوريجه

<sup>1</sup> Calcareous nannofossils

<sup>2</sup> Biozone CC5

<sup>3</sup> Late Hauterivian-Early Barremian

<sup>4</sup> Palaeoecology

## مقدمه

حوضه رسوبی کپه داغ در شمال شرق ایران، بخش وسیعی از ترکمنستان و شمال افغانستان واقع است. بخش ایرانی حوضه بین ۳۰° تا ۳۵°، ۱۵° تا ۳۸° عرض شمالی و ۵۴° تا ۱۳°، ۶۱° طول شرقی قرار دارد (افشار حرب ۱۳۷۳). اهداف این مطالعه شناسایی و معرفی نانوپلانکتون‌های<sup>۱</sup> آهکی مرز شوربجه-تیرگان، تعیین زون‌های زیستی موجود در این مرز و مقایسه‌ی آن با زون بندی‌های استاندارد جهانی و در نهایت تفاسیر پالئو اکولوژیکی حوضه در حد امکان می باشد.

## چینه شناسی سازندهای شوربجه و تیرگان

نام سازند شوربجه از روستای شوربجه گرفته شده و برش الگوی رسمی آن در کنارجاده‌ی مشهد به کلات (دره خور) به ضخامت ۹۸۰ متر قرار دارد. سازند شوربجه به‌طور عمده از نوع رسوبات آواری (شیل، رس، ماسه سنگ، کنگلومرا)، کمی سنگ گچ و لایه‌های ناچی سنگ‌های کربناتی است که سیمای قهوه‌ای-سرخ دارد. در مورد سن سازند شوربجه اتفاق نظر وجود ندارد (آقانباتی ۱۳۸۳). نهشته‌های آواری-تبخیری و سرخ رنگ سازند شوربجه، با رسوبات همزمان دیگر نقاط ایران به ویژه نهشته‌های آواری و سرخ نواحی کرمان-طبس (لایه‌های سرخ گره دو، نهشته‌های آواری-گچی مگو) شباهت دارد.

نام سازند تیرگان از روستای تیرگان واقع در ۳۹ کیلومتری جنوب شرق شهرستان دره گز گرفته شده است (افشار حرب ۱۳۷۳). برش الگوی سازند تیرگان، در کوه تیرگان، واقع در ۳۹ کیلومتری جنوب خاوری درگز مطالعه شده است. در ضمن این سازند دارای برش مرجعی است

که در جنوب خاوری روستای جوزک (باختر کپه داغ) قرار دارد (آقانباتی ۱۳۸۳).

سازند تیرگان از سنگ آهک الیتی و آواری و لایه‌های جزئی آهک مارنی، مارن و شیل آهکی شکل گرفته است. در تمام رخنمون‌های سازند، لایه‌هایی از سنگ آهک اریتولین دار وجود دارد (افشار حرب ۱۳۷۳). مرز بین شوربجه و تیرگان با تغییر رخساره‌ی ناگهانی (قاره‌ای به دریایی کم عمق) همراه است و در برش‌های مختلف از حالت تدریجی، بین انگشتی تا ناپیوسته گزارش شده است. برش‌های مورد مطالعه در شرق حوضه کپه داغ واقع شده‌اند. برش مزدوران (شرق مشهد) و برش کلات (شمال شرق مشهد) با فاصله‌ی تقریبی ۱۰۰ کیلومتر نسبت به یکدیگر قرار گرفته‌اند. شکل ۱ موقعیت برش‌های مورد مطالعه را نشان می دهد.

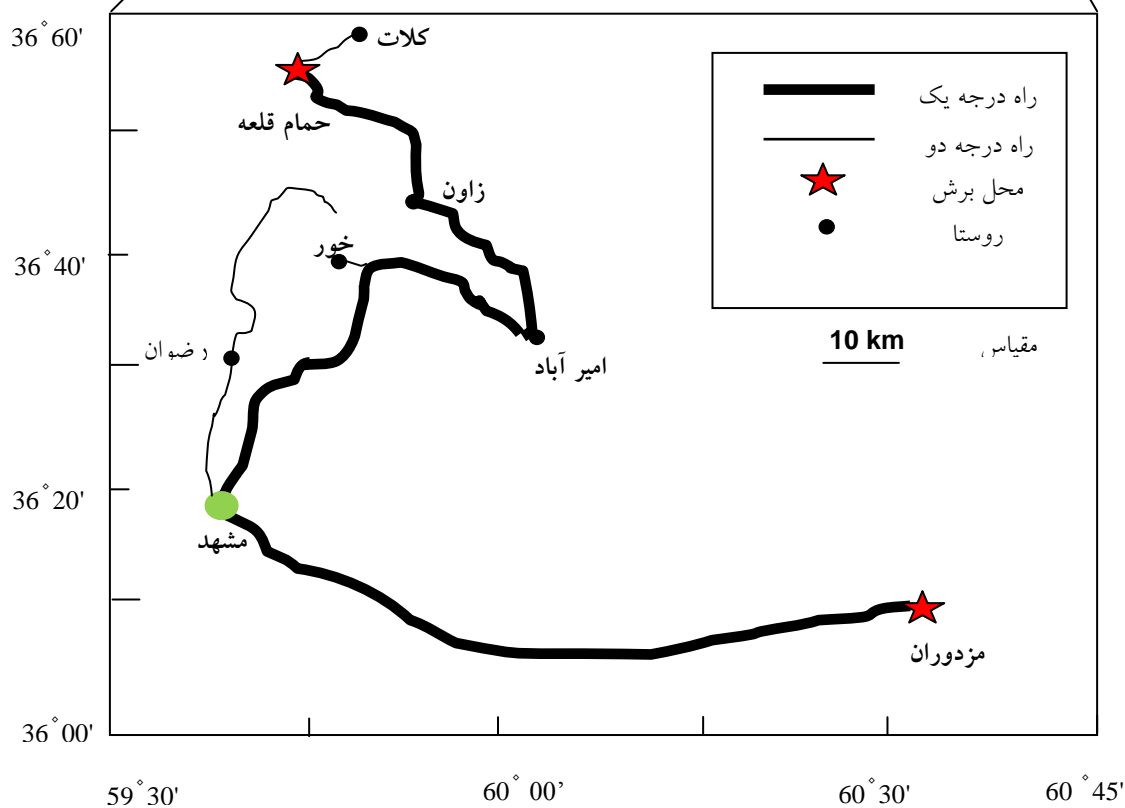
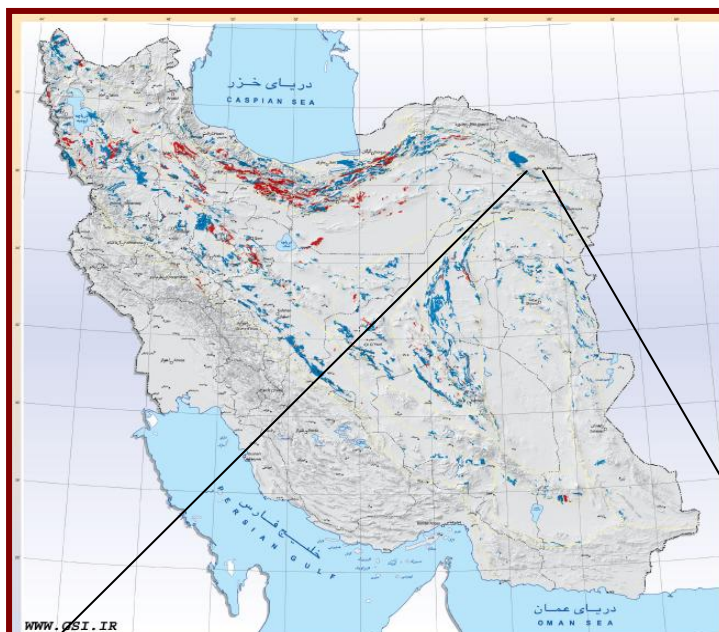
در برش مزدوران ۷ نمونه از ۳۵ متر بخش زیرین سازند تیرگان و در برش کلات ۷ نمونه از ۳۰ متر زیرین سازند مذکور که عمدتاً آهک ماسه‌ای اریتولین دار است، برداشت و مورد مطالعه قرار گرفت (شکل‌های ۳ و ۲).

## روش مطالعه و آماده سازی

روش‌های مختلف برای آماده سازی نمونه‌ها وجود دارد، به دلیل انجام مطالعات پالئو اکولوژیکی بهترین روش آماده سازی، اسمیر اسلاید<sup>۲</sup> می باشد. معمولاً برای به حداقل رسیدن اثر هوازدگی نمونه برداری از اعماق ۳۰-۵۰ سانتی متر صورت می گیرد. ابتدا در حدود یک سانتی متر مکعب از نمونه را برداشته و سطح آن را با کاردک مخصوص می تراشیم یا اگر نمونه‌ها سخت و بزرگ باشند آنها را می شکنیم تا سطح تازه‌ای از نمونه را در اختیار داشته باشیم.

<sup>2</sup> Smear slide

<sup>1</sup> Nannoplankton



شکل ۱- راه‌های دسترسی به برش‌های مورد مطالعه

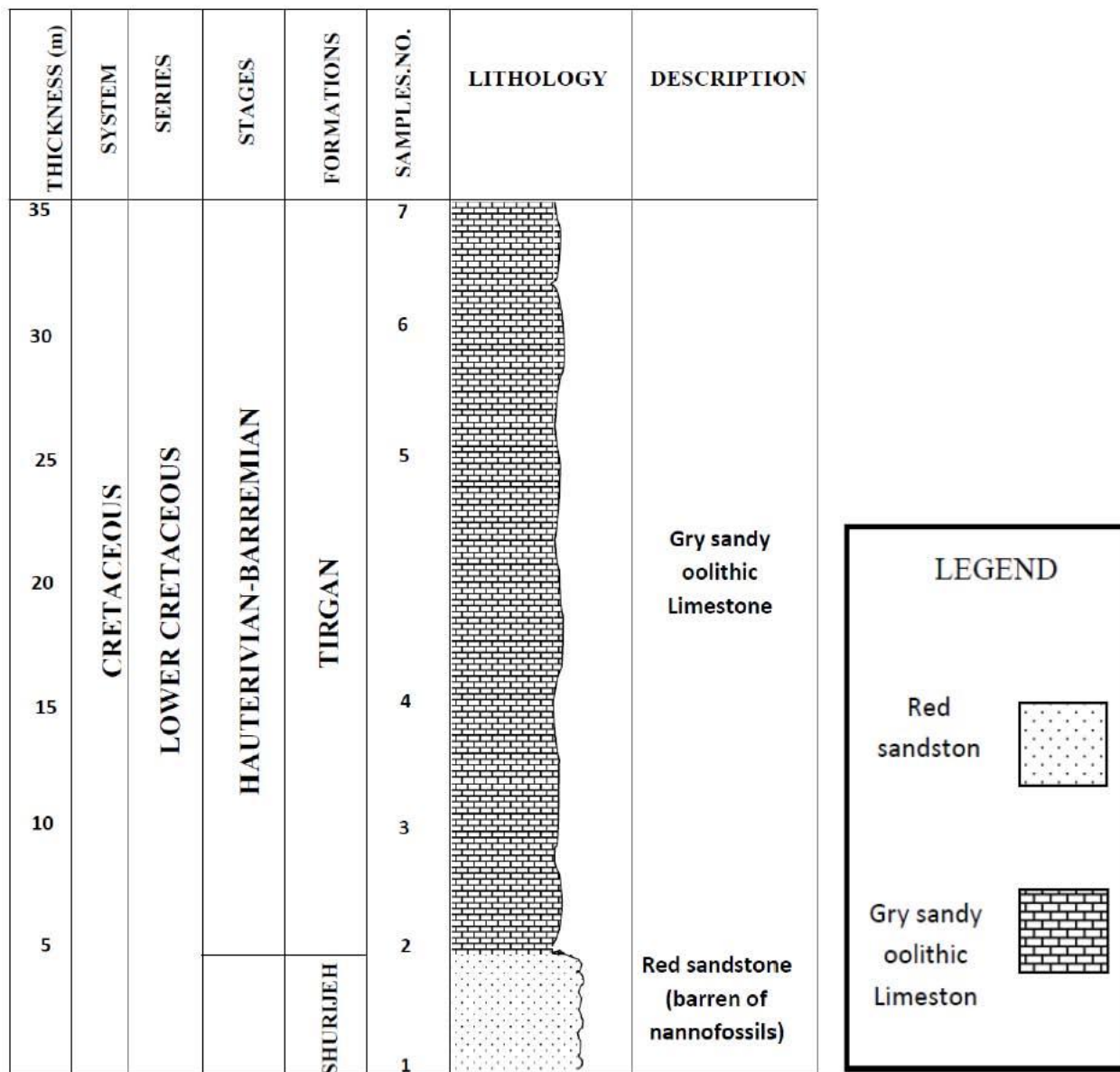
THICKNESS (m)	SYSTEM	SERIES	STAGES	FORMATIONS	SAMPLES.NO.	LITHOLOGY	DESCRIPTION
35	CRETACEOUS	LOWER CRETACEOUS	HAUTERIVIAN-BARREMIAN	TIRGAN	7		Gry sandy oolitic Limestone
30							
25							
20							
15							
10							
5							
				SHURJEH	1		Red sandstone (barren of nanofossils)

**LEGEND**

Red sandston

Gry sandy oolitic Limestone

شکل ۲- ستون چینه شناسی مرز شرویجه - تیرگان در برش کلات



شکل ۳- ستون چینه شناسی مرز شوریهجه-تیرگان در برش مزدوران

### تاریخچه‌ی مطالعات قبلی

بر روی سازند شور یجه به دلیل ماهیت قاره ای - مردابی آن، مطالعات فسیل شناسی شاخصی انجام نشده است و بیشتر گزارشات در مورد چینه شناسی و وضعیت رسوبی این سازند می باشد که برخی از آنها عبارتند از: (حرمی ۱۳۶۶) و (نجفی و همکاران ۱۳۷۸) و (مرتضوی و همکاران ۱۳۸۵). غالب مطالعات فسیل شناسی انجام شده بر روی سازند تیرگان عمدتاً بر مبنای فرامینفرها می باشند که به شرح زیر اند:

در برش الگو، سن سازند تیرگان بر اساس فرامینفرهای شناسایی شده ی زیر نئوکومین - آپتین<sup>۱</sup> گزارش شده است (Kalantari 1969).

*Cuneolina* cf. *hensoni*; *Nautiloculina oolitica*;  
*Gavelinella baremina*; *Textularia foeda*;  
*Pseudocyclamina* cf. *hedbergi* ; *Trocholina*  
*alpine*; *Pseudocyclamina litus*

در برش مرجع (جنوب شرق روستا جوزک) رهقی با اشاره به گونه های زیر سن این سازند را نئوکومین - آپتین گزارش نموده است (افشار حرب ۱۳۷۳).

*Orbitolina* aff. *lenticularis* ; *Chofattella*  
*decipiens* ; *Pseudo cyclamina* sp. ; *Nautiloculina*  
sp. ; *Orbitolina* sp. ; *Acicularia* sp.

در همین برش بر مبنای فرامینفرهای بنتیک و جلبک سبز سن بarmین - آپتین پیشین گزارش شده است (ریوندی و همکاران ۱۳۸۶).

بر مبنای مجموعه فونا و میکروفاسیس های تعیین شده، سن سازند تیرگان در شمال خاوری کپه داغ اشکوب آپتین پیشنهاد شد (آقاداتاشی ابهری و همکاران ۱۳۸۰).

سپس ۸-۱۰ گرم از نمونه را با کاردک خراشیده و بصورت پودر در می آوریم و روی لام می ریزیم البته برای شناسایی بهتر نانوفسیل ها مفیدتر آن است که این پودر را روی لامل بریزیم چون با این روش نمونه ها به عدسی شیئی میکروسکوپ نزدیکتر خواهند بود. سپس با افزودن قطره ای آب مقطر و به کمک یک خلال دندان پودر را روی لام پهن کرده و روی اجاق برقی خشک می کنیم و پس از خشک شدن با سر دیگر خلال دندان پودر خشک شده روی لام را می خراشیم و در مرکز لام جمع کرده و دوباره یک قطره ای آب مقطر روی آن ریخته و بعد از توزیع رسوب روی لام با حرکات دورانی خلال دندان خطوطی با ضخامت های مختلف از رسوب را روی لام ایجاد می کنیم و در نهایت آنرا روی اجاق برقی خشک نموده و با چسب کانادابالزام لام و لامل را به یکدیگر می چسبانیم.

در این بررسی، نانوپلانکتون های آهکی با میکروسکوپ نوری پلاریزان BX51 و عدسی شیئی ۱۰۰ شناسایی و عکسبرداری شدند، سپس برای دستیابی به نتایج پالئواکولوژیکی، تعداد گونه های شناسایی شده در هر نمونه شمرده شدند و زمانی که ۳۰۰ گونه نانوفسیل شمرده شد، شمارش متوقف گردید و سپس درصد هر گونه محاسبه شد (جدول های ۲۰۱) و در نهایت نمودار تغییرات فراوانی برای تعدادی از گونه ها که از نظر پالئواکولوژیکی اهمیت داشته اند ترسیم گردید (نمودارهای ۲۰۱) به منظور شناسایی نانوفسیل ها و نیز مطالعات زیست چینه ای از گزارش های متعددی مانند (هادوی ۱۳۸۷)، (هادوی و پوراسماعیل ۱۳۸۶)، (Perch- Bown 1998; Nielsen 1985) استفاده شده است.

<sup>1</sup> Neocomian-Aptian

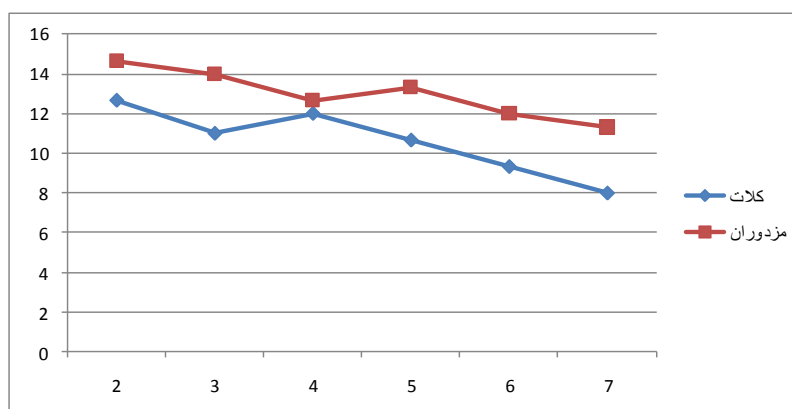
جدول ۱ - فراوانی نانوفسیل های شناسایی شده مرز شوریه - تیرگان در برش کلات

							PERIOD
SHURIJE							FORMATION
1	2	3	4	5	6	7	SAMPLE No.
							TAXA
0.00	4.66	4.00	6.00	5.33	6.00	6.00	<i>Calcicalathina alta</i>
0.00	1.33	2.00	1.33	2.66	2.00	2.66	<i>Calculites percenis</i>
0.00	8.66	6.66	6.00	5.33	6.66	7.00	<i>Conusphaera mexicana</i>
0.00	8.66	10.00	9.33	11.33	12.00	12.00	<i>Cycloglosphaera margerelii</i>
0.00	0.00	0.00	0.00	1.33	0.00	0.00	<i>Faviconus multicolumnatus</i>
0.00	0.00	0.00	0.66	1.33	0.66	0.00	<i>Hayesites irregularis</i>
0.00	2.66	4.66	5.33	3.33	5.33	6.00	<i>Lithraphidites bollii</i>
0.00	4.00	3.33	2.00	1.66	1.33	1.33	<i>Micrantholithus hoschulzii</i>
0.00	4.00	4.66	3.33	2.66	2.00	1.33	<i>Micrantholithus speetonensis</i>
0.00	10.66	10.00	10.66	11.66	11.33	11.00	<i>Micula infracretacea</i>
0.00	2.00	2.66	1.33	1.00	0.66	0.56	<i>Nannoconus abundans</i>
0.00	1.33	0.00	0.66	0.66	0.00	0.00	<i>Nannoconus bucheri</i>
0.00	0.00	0.00	0.00	0.66	0.66	0.33	<i>Nannoconus circularis</i>
0.00	3.33	0.00	2.66	2.00	2.66	1.45	<i>Nannoconus oviform</i>
0.00	4.66	2.00	2.00	1.33	2.00	0.00	<i>Nannoconus sp.</i>
0.00	0.00	0.00	0.66	0.00	2.33	2.00	<i>Perissocyclus plethotretus</i>
0.00	1.33	3.33	2.66	3.33	6.33	6.00	<i>Polycostella beckmanii</i>
0.00	6.66	6.00	5.33	6.00	4.66	6.33	<i>Tetralithus cassianus</i>
0.00	4.00	4.00	3.33	4.66	4.00	4.67	<i>Tetralithus pseudotrifidus</i>
0.00	0.66	0.00	0.00	0.66	0.00	0.00	<i>Trapezopentus sp.</i>
0.00	12.66	11.00	12.00	10.66	9.33	8.00	<i>Watznaueria barnesae</i>
0.00	18.66	23.66	23.33	22.66	19.66	23.00	<i>Watznaueria biporta</i>
barren of nannofos sil	N.abundans						NANNOFOSSIL EVENT
	CC5						NANNOFOSSIL ZONE after Sissingh (1977) - CC & Burnrtt (1998) - UC

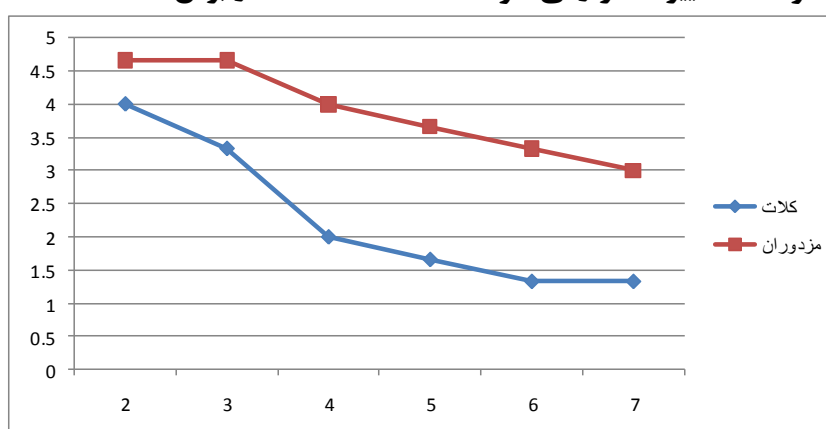
جدول ۲ - فراوانی نانوفسیل های شناسایی شده مرز شوريجه - تیرگان در برش مزدوران

							PERIOD
SHURIJE							FORMATION
H							
1	2	3	4	5	6	7	SAMPLE No.
							TAXA
0.00	4.66	4.00	6.00	5.33	6.00	6.00	<i>Calcicalathina alta</i>
0.00	1.33	2.00	1.33	2.66	2.00	2.66	<i>Calculites percenis</i>
0.00	8.66	6.66	6.00	5.33	6.66	7.00	<i>Conusphaera mexicana</i>
0.00	8.66	10.00	9.33	11.33	12.00	12.00	<i>Cycloglosphaera margerelii</i>
0.00	0.00	0.00	0.00	1.33	0.00	0.00	<i>Faviconus multicolumnatus</i>
0.00	0.00	0.00	0.66	1.33	0.66	0.00	<i>Hayesites irregularis</i>
0.00	2.66	4.66	5.33	3.33	5.33	6.00	<i>Lithraphidites bollii</i>
0.00	4.00	3.33	2.00	1.66	1.33	1.33	<i>Micrantholithus hoschulzii</i>
0.00	4.00	4.66	3.33	2.66	2.00	1.33	<i>Micrantholithus speetonensis</i>
0.00	10.66	10.00	10.66	11.66	11.33	11.00	<i>Micula infracretacea</i>
0.00	2.00	2.66	1.33	1.00	0.66	0.56	<i>Nannoconus abundans</i>
0.00	1.33	0.00	0.66	0.66	0.00	0.00	<i>Nannoconus bucheri</i>
0.00	0.00	0.00	0.00	0.66	0.66	0.33	<i>Nannoconus circularis</i>
0.00	3.33	0.00	2.66	2.00	2.66	1.45	<i>Nannoconus oviform</i>
0.00	4.66	2.00	2.00	1.33	2.00	0.00	<i>Nannoconus sp.</i>
0.00	0.00	0.00	0.66	0.00	2.33	2.00	<i>Perissocyclus plethotretus</i>
0.00	1.33	3.33	2.66	3.33	6.33	6.00	<i>Polycostella beckmanii</i>
0.00	6.66	6.00	5.33	6.00	4.66	6.33	<i>Tetralithus cassianus</i>
0.00	4.00	4.00	3.33	4.66	4.00	4.67	<i>Tetralithus pseudotrifidus</i>
0.00	0.66	0.00	0.00	0.66	0.00	0.00	<i>Trapezopentus sp.</i>
0.00	12.66	11.00	12.00	10.66	9.33	8.00	<i>Watznaueria barnesae</i>
0.00	18.66	23.66	23.33	22.66	19.66	23.00	<i>Watznaueria biporta</i>
barren of nannofos sil	N.abundans						NANNOFOSSIL EVENT
	CC5						NANNOFOSSIL ZONE after Sissingh (1977) - CC & Burnrtt (1998) - UC





نمودار ۱- تغییرات فراوانی گونه W. barnesae در دو بخش مطالعه شده



نمودار ۲- تغییرات فراوانی گونه M. hoschulzii در دو بخش مطالعه شده

بخش تحتانی این سازند در امتداد دره خور، آلبین گزارش شده است. از مطالعات رسوب شناسی انجام شده بر روی سازند تیرگان می توان به مطالعات (آریایی و همکاران ۱۳۸۵)، (موسوی زاده و همکاران ۱۳۸۷)، (کباری و همکاران ۱۳۸۸)، (یاورمنش و همکاران ۱۳۸۹) اشاره کرد.

### نانوفسیلهای آهکی سازند تیرگان

نمونه های آماده سازی شده از بخش فوقانی شوریه که عمدتاً ماسه سنگی هستند فاقد نانوفسیلهای آهکی بودند. اگرچه به دلیل اینکه قسمت عمده ای از لیتولوژی<sup>۲</sup> بخش تحتانی سازند تیرگان آهک ماسه ای سخت است و این جهت حفظ شدگی نانوفسیل ها شرایط نسبتاً مناسبی نمی باشد اما تعداد ۲۲ گونه و ۱۵ جنس از این

در بخش شترپا (در ۷۸ کیلومتری مشهد) سن سازند تیرگان بر مبنای شناسایی ۴ گونه از خانواده توگراستریده ها اواخر کرتاسه<sup>۱</sup> آغازین (نئوکومین) ذکر شده است (هاشمیان و آریایی ۱۳۸۶).

در بخش ارخان در ۱۰ کیلومتری جنوب غرب بجنورد بر مبنای جلبکهای آهکی باتوجه به وجود گونه های *Praturlonella dalmatica*, *Actinoporella podolica* و *Clypeina gigantean* در بخش تحتان سازند تیرگان، سن معادل بارمین و وجود گونه *Praturlonella nerae* در بخش فوقانی، سن معادل آپتین پیشنهاد شده است (Taherpour khalil abad et al. 2010). در مورد نانوفسیل های آهکی تنها چند گونه گزارش شده است (هادوی ۱۳۸۶) که بر این مبنای سن

<sup>2</sup> Lithology

<sup>1</sup> Cretaceous

*Tetralithus pseudotrifidus* Jafar, 1983  
*Trapezopentus* sp.  
*Watznaueria barnesae* (Black, 1959) Perch-Nielsen, 1968  
*Watznaueria biporta* Bukry, 1969

### زون بندی زیستی

با توجه به جدول های ۱ و ۲ می توان گفت که برخی از گونه ها مانند *Calcicalathina alta*، *Tetralithus barnesia*، *Watznaueria barnesia* و *Micrantholithus hoschulzii*، *cassianus* گونه های مختلف جنس نانوکونوس در کل ضخامت مورد مطالعه در اکثر نمونه ها حضور داشته اند ولی برخی گونه ها مثل *Lithraphidites bollii*، *Hayesites irregularis*، *Polycostella beckmanii* بصورت پراکنده با درصد پایین تری مشاهده شده اند.

با توجه به عدم حضور گونه ی *Speetonia colligate* و مجموعه ی فسیل های همراه مانند اولین حضور گونه های *N. abundans*، *N. circularis* در هوتروین پسین و بارمین آغازین، بایوزون CC5 از زون بندی (Sissingh 1977) برای بخش تحتانی سازند تیرگان در دو برش مزدوران و کلات به شرح زیر پیشنهاد می شود.

#### LITHRAPHIDITES BOLLII ZONE (CC5):

این بایوزون از آخرین حضور گونه *Speetonia colligate* تا آخرین حضور گونه ی *Calcicalathina oblongata* می باشد که بیانگر بازه ی زمانی هوتروین پسین - بارمین آغازین است.  
 (Perch-Nielsen 1979) به ویژه در مناطقی که در عرض جغرافیایی بالا قرار دارند (قطب شمال)، از آخرین حضور *C. striatus* استفاده می کند و این در جایی است که گونه ی *S. colligata* وجود ندارد. با توجه به مجموعه ی نانوفسیل های شناسایی شده به ویژه

گروه در برش کلات و ۲۰ گونه و ۱۴ جنس در برش مزدوران برای بخش تحتانی سازند تیرگان گزارش گردید (پلیت های ۱-۳). شایان ذکر است که فراوانی و تنوع اغلب گونه ها از نمونه های ابتدایی به سمت انتهای برش افزایش می یابد که خود شرایط مناسب تر محیطی را در این روند نشان می دهد. حضور جنس های *Micrantholithus*، *Nannoconus*، *Watznaueria* بیانگر حوضه ای کم عمق و حاشیه ای است در تمامی نمونه ها مشهود می باشد. گونه های شناسایی شده از بخش تحتانی سازند تیرگان عبارتند از:

*Assipetra infracretacea* (Thierstein, 1973) Roth, 1973  
*Axopodorhabdus dietzmannii* (Reinhardt, 1965) Wind & Wise, 1983  
*Biscutum constans* (Gorka, 1957) Black in Black & Barnes, 1959  
*Calcicalathina alta* Perch-Nielsen, 1979a  
*Calcicalathina oblongata* (Worsley, 1971) Thierstein 1971  
*Calculites percensis* Jeremiah, 1996  
*Conusphaera mexicana* Trejo, 1969  
*Cretarhabdus loriei* Gartner, 1968  
*Cyclogelosphaera margerelii* Noel, 1965  
*Faviconus multicolumnatus* Bralower in Bralower et al. 1989  
*Hayesites irregularis* Thierstein in Roth and Thierstein, 1972  
*Lithastrinus* sp  
*Lithraphidites bollii* (Thierstein, 1971) Thierstein, 1973  
*Micrantholithus hoschulzii* (Reinhardt, 1966) Thierstein, 1971  
*Micrantholithus speetonensis* Perch-Nielsen, 1979a  
*Nannoconus abundans* Stradner & Grun, 1973  
*Nannoconus bonetii* Trejo, 1959  
*Nannoconus bucheri* Bronnimann, 1955.  
*Nannoconus circularis* Deres & Acheriteguy, 1980  
*Nannoconus oviform* Perch-Nielsen, 1988  
*Nannoconus* sp  
*Perissocyclus plethotretus* (Wind & Cepek, 1979) Crux, 1989  
*Polycostella beckmanii* Thierstein, 1971  
*Tetralithus cassianus* Gardet, 1955

اکثر گونه های نانوفسیلی مشاهده شده در این مطالعه بیانگر عرض ها جغرافیایی پایین تا متوسط می باشند و عموماً در آبهای گرم زندگی می کردند. *Micrantholithus*، *Nannoconus* ها که از مجموعه های غالب در این مطالعه می باشند شاخص عرض های جغرافیایی پایین هستند (Street and Bown 2000).

نانوکنوس ها نمونه هایی بسیار حساس نسبت به تغییرات دمایی هستند بطوریکه معمولاً در شرایط دمایی گرم پایدار هستند (Rutledge 1993). حضور فراوان و شاخص گونه های مختلف نانوکنوس نشانه ی شرایط مناسب دمایی بوده و از طرفی گونه ی *W.barnesae* از گونه های بسیار شاخص آبهای گرم می باشد (Bukry 1973) و حضور این گونه در عرض های جغرافیایی بالا، بسیار کم بوده است (Watkins 1992).

از طرف دیگر آب و هوای گرم و نیمه استوایی را می توان بر اساس گونه ی *L. bollii* مشخص کرد (Thierstein 1971).

با توجه به فراوانی گونه ی *W.barnesae* ( نمودار ۱) و حضور نانوکنوس ها با دیواره ی ضخیم و اندازه های درشت می توان گفت که حوضه در زمان نهشته شدن سازند تیرگان در عرض جغرافیایی پایین و شرایط دمایی بالا بوده است.

### ۳ عمق

جنس های *Watznaueria*، *Micrantholithus*، *Nannoconus* از شاخص های بسیار سودمند برای شناسایی محیط های اپی کنتیننتال<sup>۴</sup> و کم عمق اند (Bown and Concheyro 2004).

این جنس ها با عمق رابطه ای معکوس دارند (Thierstein 1976). با توجه به نمودارهای ۱ و ۲ فراوانی *W.barnesae*، *M.hoschulzii* از نمونه ی ابتدایی به سمت انتهایی کاسته شده است که این مسئله نشانگر عمیق تر شدن حوضه ی تیرگان در هر دو برش مطالعه شده از نمونه ی اول به سمت آخر است و همچنین با

که شاخص عرض های جغرافیایی پایین است و نیز *FO Dodekapodorhabdus*، *FO N.abundans*، *noeliae* که توسط (Taylor 1982) از هوترورین پسین در انگلستان گزارش شده اند لبه ی پایینی نهشته های مطالعه شده را می توان هوترورین پسین دانست. از طرف دیگر کانال مرکزی گونه های مختلف نانوکنوس<sup>۱</sup> ها معمولاً از بارمین به بعد وسیع تر از دیواره ها شده و از نظر اندازه کوتاهتر می شوند و گاهی در ساختار آنها فلنز<sup>۲</sup> دیده می شود (Rutledge 1993). حضور گونه هایی با کانال مرکزی وسیع *N.circularis* (*N.bucheri*) در کنار گونه *N.abundans* تاییدی برای آغاز بارمین می باشد.

### مطالعات پالئواکولوژی

بر مبنای تغییرات فراوانی گونه های شناسایی شده در نمونه ها و مطالعات قبلی صورت گرفته نتایج زیر حاصل می گردد.

### ۱ حفظ شدگی

حفظ شدگی غالباً تحت تاثیر عوامل انحلال و دیاژنز<sup>۳</sup> قرار می گیرد، در نمونه های بررسی شده اغلب گونه هایی که دارای ساختار ظریف بودند دچار تخریب شده ولی ساختارهای درشت مثل کانال مرکزی و ضخامت دیواره ها در نانوکنوس ها قابل شناسایی بود. اما از آنجا که لیتولوژی بخش تحتانی سازند تیرگان عمدتاً آهک ماسه ای است و جهت حفظ شدگی نانوپلانکتونهای آهکی چندان مناسب نمی باشد، تعداد کمتر گونه های موجود و نیز تخریب ساختارهای ریز می تواند بیشتر حاکی از اثر دیاژنز بر روی این فسیل ها باشد. از اینرو می توان گفت که انحلال تاثیر نسبتاً کمتری بر روی نانوفسیل های آهکی داشته است.

### ۲ عرض جغرافیایی و درجه حرارت

<sup>1</sup> Nannoconus

<sup>2</sup> Flange

<sup>3</sup> Diagenes

<sup>4</sup> Epicontinental

تیرگان دربخش خاوری کپه داغ: چکیده مقالات بیستین گردهمایی علوم زمین، ۲۸-۳۰ بهمن ۱۳۸۰، وزارت صنایع و معادن، سازمان زمین شناسی و اکتشافات معدنی کشور، ۳۷۶ص.

۳ - آقاباتی، ع.، ۱۳۸۳. زمین شناسی ایران: انتشارات سازمان زمین شناسی و اکتشافات معدنی کشور، ۵۸۶ ص.

۴ - افشارحرب، ع.، ۱۳۷۳. زمین شناسی ایران، زمین شناسی کپه داغ: انتشارات سازمان زمین شناسی و اکتشافات معدنی کشور، ۲۷۵ ص.

۵ - حرمی، ر.، ۱۳۶۶، تفسیر محیط رسوبگذاری سازند شوریجه در شرق حوضه کپه داغ: پنجمین گردهمایی علوم زمین، انتشارات سازمان زمین شناسی و اکتشافات معدنی کشور.

۶ - ریوندی، ب.، م. نجفی، ر. حرمی، ا. محبوبی، م. وحیدی نیا، و س.م.ع. موسوی زاده، ۱۳۸۶. چینه نگاری زیستی و سکانسی سازند تیرگان درناودیس خوردر شمال شرق مشهد: مجموعه مقالات یازدهمین انجمن زمین شناسی ایران، ۱۳-۱۵ شهریور ۱۳۸۶، دانشگاه فردوسی مشهد، ۵۶۳ ص.

۷ - کباری، ر.، م.ح. محمودی قرائی، ا. محبوبی، و س.ر. موسوی حرمی، ۱۳۸۸، آنالیزخساره ها و سکانس های رسوبی سازند تیرگان در شمال چناران: سیزدهمین همایش انجمن زمین شناسی ایران ۱-۳ اسفند، ۱۳۸۸، سازمان زمین شناسی و اکتشافات معدنی کشور.

۸ - مرتضوی، س.م.، س.ر. موسوی حرمی، ا. محبوبی، و م. نجفی، ۱۳۸۵، تاریخچه رسوبگذاری و موقعیت تکتونیکی منشا رسوبات نئو کمین در شمال شرق فریمان: بیست و پنجمین گردهمایی علوم زمین، انتشارات سازمان زمین شناسی و اکتشافات معدنی کشور.

توجه به مقادیر کمتر ماکزیمم و مینیمم<sup>۱</sup> گونه ی *W.barnesae* دربرش کلات نسبت به مزدوران ( نمودار ۱) می توان نتیجه گرفت که عمق حوضه ی کلات در زمان نهشته شدن بخش تحتانی سازند تیرگان بیشتر ازحوضه ی مزدوران بوده است.

## نتایج

علیرغم اینکه تجمعات نانوفسیلی بخش تحتانی سازند تیرگان از حفظ شدگی چندان مناسبی برخوردار نبوده، تعداد ۲۲ گونه و ۱۵ جنس از نانوفسیلهای آهکی در برش کلات و ۲۰ گونه و ۱۴ جنس در برش مزدوران برای بخش تحتانی سازند تیرگان گزارش شده است. بر اساس تنوع تجمعات نانوفسیلی شناسایی شده، در بخش تحتانی سازند تیرگان بایوزون CC5 از زون بندی (1977 Sissingh) رابرای برش های کلات و مزدوران پیشنهاد می نمایم.

بر مبنای مطالعات انجام شده و شاخص های پالئو اکولوژیکی، می توان نتیجه گرفت یک حوضه ی دریایی کم عمق و حاشیه ای در عرض جغرافیایی پایین تا متوسط و شرایط دمایی گرم در زمان نهشته شدن بخش تحتانی تیرگان وجود داشته که بر عمق حوضه از طرف مزدوران به کلات افزوده شده است.

## منابع

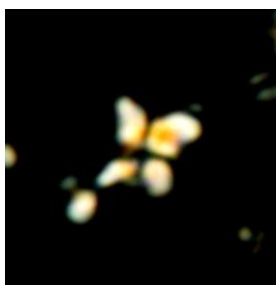
- ۱ - آریایی، ع.ا.، ن. هاشمیان، و م. علامه، ۱۳۸۵، رخساره اورگونین درحوضه کپه داغ: مجموعه مقالات دهمین همایش انجمن زمین شناسی ایران، ۱۳ الی ۱۵ شهریور ۱۳۸۵، دانشگاه تربیت مدرس تهران، ص ۱۹۲-۱۹۴.
- ۲ - آقاداتاشی ابهری، ف.، م.هاشمی، و ع. آقاباتی، ۱۳۸۰، بررسی و مطالعه بیوفاسیس و لیتوفاسیس سازند

<sup>1</sup> Maximum and Minimum

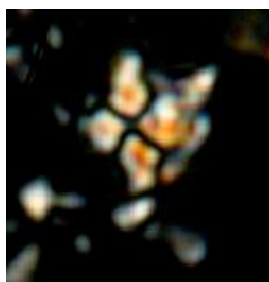
- 18- Bukry, D., 1973, Coccolith stratigraphy, eastern equatorial Pacific: Leg 16, Deep Sea Drilling .
- 19- Project. In: Van Andel, T.H., Heath, G.R., et al., Init. Repts. DSDP, 16: p. 653-711.
- 20- Kalantari, A., 1969, Foraminifera from the middle – Jurassic – Cretaceous successions of Kopet Dag region (N.E. IRAN): Tehran, Nat.Dran.oil co., Geol.Labor, No. 3, 298 p.
- 21- Perch-Nielsen, K., 1979, Calcareous Nannofossils from the Cretaceous between the North Sea and Mediterranean: Aspekte der Kreide Europas, IUGS series A, v. 6, P. 223-272.
- 22- Perch-Nielsen, K., 1985, Mesozoic Calcareous Nannofossils: In: Bolli, H.M., Saunders, J.B., Perch-Nielsen, K., (Eds.), Plankton Stratigraphy, Cambridge Univ., P. 329-426.
- 23- Rutledge, D., 1993, Boreal-arctic nannoconids, the Barremian diversification: INA newsletter 15/2, salamanca abstracts. London University, 9P.
- 24- Sissingh, W., 1977, Biostratigraphy of cretaceous calcareous nannoplankton: Geologie en mijnbouw, v. 56, P. 37-65.
- 25- Street, C., and P.R. Bown, 2000, Palaeobiogeography of early Cretaceous (Berriasian– Barremian) calcareous nannoplankton: Mar.Micropaleontol., v. 39, p.265– 291.
- 26- Taherpour khalil abad, M., M. Andre Conrad, A.A. Aryaei, and A.A. Ashouri, 2010, Barremian- Aptian Dasycladalean algae, new and revisited, from the Tirgan Formation in the Kopet- Dag, NE Iran: Carnets de Géologie / Notebooks on Geology - Article 2010/05 (G2010\_A05) Manuscript online since August 27, 2010.
- 27- Taylor, R.J., 1982, Lower cretaceous (Ryazanian to Albian ) calcareous nannofossils. In: A.R. Lord (Ed.), A stratigraphical index of calcareous nannofossils, British Micropal.Soc., p.40-80.
- 28- Thierstein, H.R., 1971, Tentative Lower Cretaceous Calcareous Nannoplankton Zonation: Eclogae Geologica Helvetica, v. 64, p.459-488.
- 29- Thierstein, H.R., 1976, Mesozoic Calcareous Nannoplankton: Micropaleontology, v.1, p.325-362.
- 30- Watkins, D.K., 1992, Upper cretaceous nannofossils from Leg 120, Kerguelen plateau, southern ocean: Proc.Ocean.Drilling Program, Scientific Results, v. 120, p.52-87.
- ۹ - موسوی زاده، س.م.ع.، ا. محبوبی، س.ر. موسوی حریمی، و م. نجفی، ۱۳۸۷، رخساره های رسوبی و چینه نگاری سکانسی سازند تیرگان در برشهای جوزک و چمن بید در غرب حوضه رسوبی کپه داغ و انطباق با نواحی شرق حوضه: مجله پژوهشی دانشگاه اصفهان (علوم پایه)، ش. ۳۲، ص. ۳۳-۵۶.
- ۱۰ - نجفی، م.، ر. نداف، و س.ر. حریمی، ۱۳۷۸، مطالعه سنگ چینه شناسی سازند شوربجه در مقطع رادکان- بارو، جنوب شرق قوچان و مقایسه آن با مقاطع چشمه گیلاس، دره خورو گردنه مزدوران: سومین همایش انجمن زمین شناسی ایران، ص ۶۴۵-۶۴۹.
- ۱۱ - هادوی، ف.، ۱۳۸۶، نانوفسیلهای آهکی کرتاسه کپه داغ، ایران مرکزی، مکران: انتشارات سازمان زمین شناسی و اکتشافات معدنی کشور، ۴۹۳ ص.
- ۱۲ - هادوی، ف.، ۱۳۸۷، نانوپلانکتونهای آهکی: نشر بنفشه مشهد، ۵۷۶ ص.
- ۱۳ - هادوی، ف.، و ا. پوراسماعیل، ۱۳۸۶، بررسی گذر سازندهای تیرگان، سرچشمه، سنگانه، ایتامیرو آبدراز بر مبنای نانوپلانکتونهای آهکی در مقطع جاده مشهد - سرخس: مجموعه مقالات یازدهمین انجمن زمین شناسی ایران، ۱۳-۱۵ شهریور ۱۳۸۶، ۶۲۸ ص.
- ۱۴ - هاشمیان، ن.، و ع.ا. آریایی، ۱۳۸۶، معرفی گونه‌های از خارپوستان سازند تیرگان: اولین انجمن دیرینه شناسی ایران، ۱۹ اردیبهشت ماه ۱۳۸۶، سازمان حفاظت محیط زیست کشور، تهران، ص. ۱۵۴-۱۵۸.
- ۱۵ - یاورمنش، ه.، ع.ا. آریایی، و ع.ر. عاشوری، ۱۳۸۹، ریز رخساره های سازند تیرگان در برش گلیان، جنوب شیروان: بیست و هشتمین گردهمائی علوم زمین و چهاردهمین همایش انجمن زمین شناسی ایران، ۲۵ الی ۲۷ شهریور ماه ۱۳۸۹، دانشگاه ارومیه.
- 16- Bown, P.R., D.C. Rutledge, J.A. Crux, and L.T. Gallagher, 1998, In Bown, P.R., (Ed.), Calcareous Nannofossil Biostratigraphy :Chapman & Hall /Kluwer Academic Publishers: p. 86-131.
- 17- Bown, P.R., and A.Concheyro, 2004, Lower Cretaceous calcareous nannoplankton from the Nequen Basin, Argentina: Marine Micropaleontology ,v.52, p. 51-84.

### Plate 1

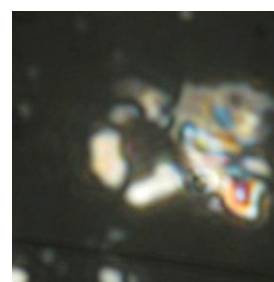
All figures light micrographs magnified X 2500



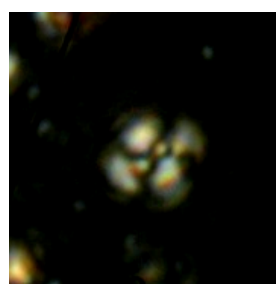
*Tetralithus cassianus*  
Image #7 Kalat sec.



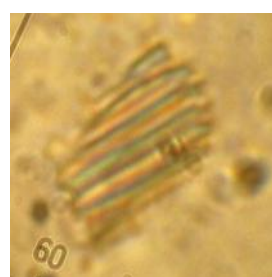
*Tetralithus cassianus*  
Image #6 Kalat sec.



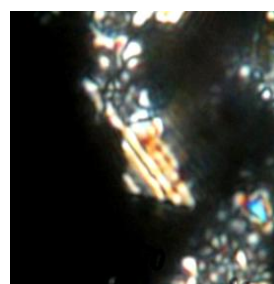
*Cretarhabdus striatus*  
Image #4 Mozduran sec.



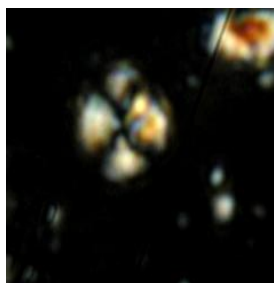
*Cyclogelosphaera margerelii*  
Image #6 Mozduran sec.



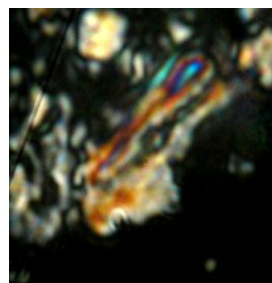
*Calcicalathina alta*  
Image #7 Kalat sec.



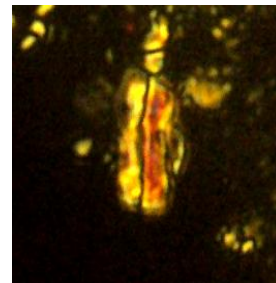
*Calcicalathina alta*  
Image #6 Mozduran



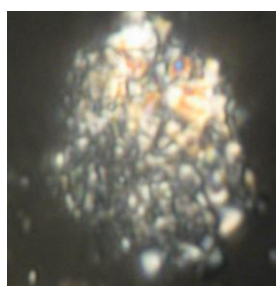
*Watznaueria barnesae*  
Image #3 Mozduran sec.



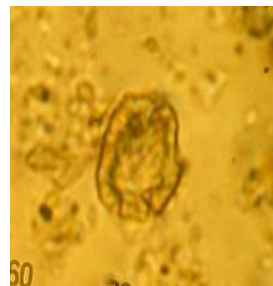
*Lithraphidites bollii*  
Image #3 Kalat sec.



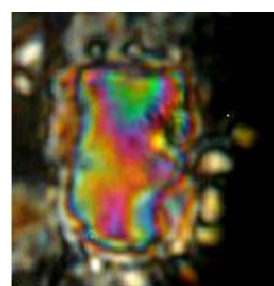
*Lithraphidites bollii*  
Image #2 Mozduran sec.



*Nannoconus oviformis*  
Image #5 Mozduran sec.



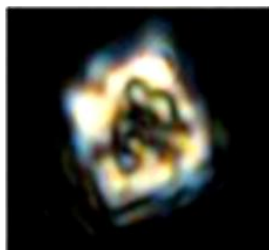
*Nannoconus bucheri*  
Image #5 Kalat sec.



*Nannoconus* sp  
Image #5 Kalat sec.

**Plate 2**

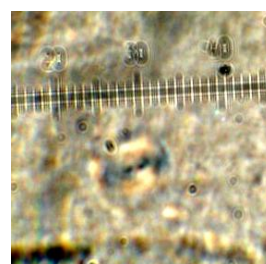
All figures light micrographs magnified X 2500



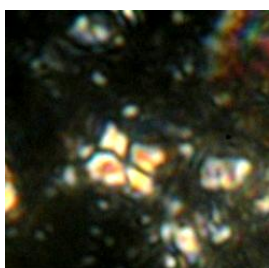
*Assipetra infracretacea*  
Image #6 Mozduran sec.



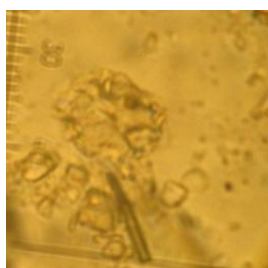
*Hayesites irregularis*  
Image # 5 Kalat sec.



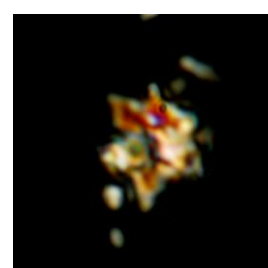
*Watznaueria biporta*  
Image #3 Mozduran sec.



*Tetralithus cassianus*  
Image #7 Kalat sec.



*Micrantholithus speetonensis*  
Image #6 Mozduran sec.



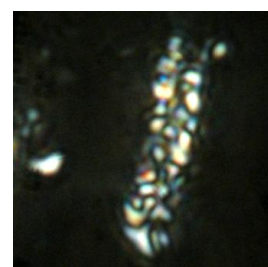
*Micrantholithus speetonensis*  
Image #7 Kalat sec.



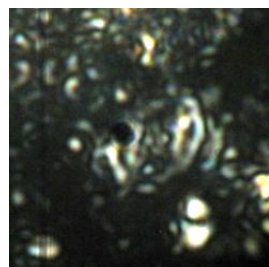
*Lithastrinus* sp  
Image #4 Mozduran sec.



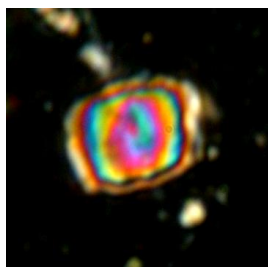
*Faviconus multicolumnatus*  
Image #5 Kalat sec



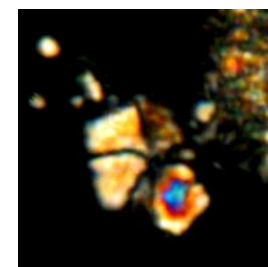
*Faviconus multicolumnatus*  
Image # 5 Kalat sec



*Axopodorhabdus dietzmannii*  
Image #3 Mozduran sec.



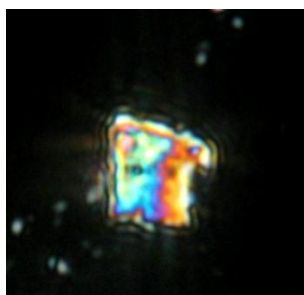
*Nannoconus circularis*  
Image # 6 Kalat sec.



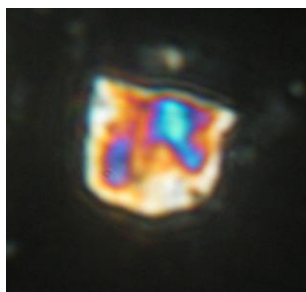
*Micrantholithus hoschulzii*  
Image #2 Mozduran sec.

### Plate 3

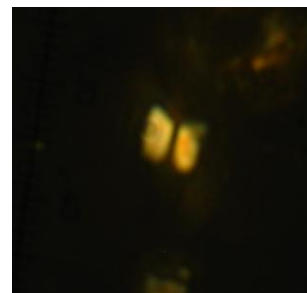
All figures light micrographs magnified X 2500



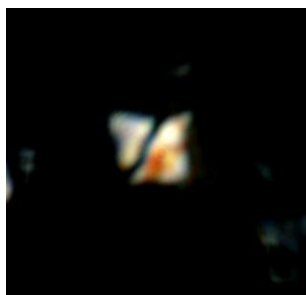
*Nannoconus abundans*  
Image #7 Mozduran sec.



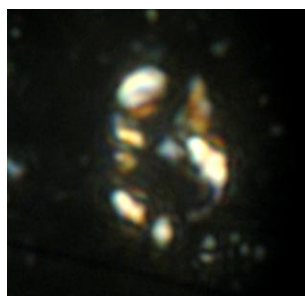
*Nannoconus abundans*  
Image #3 Kalat sec.



*Nannoconus abundans*  
Image #6 Kalat sec.



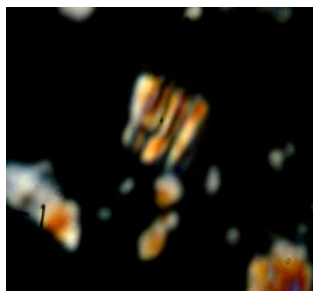
*Nannoconus abundans*  
Image #3 Kalat sec.



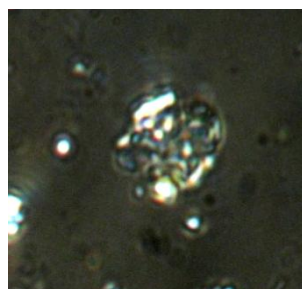
*Nannoconus bonetii*  
Image #5 Mozduran sec.



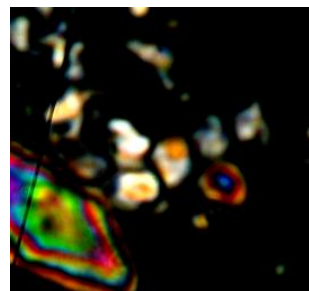
*Biscutum constans*  
Image #6 Mozduran sec.



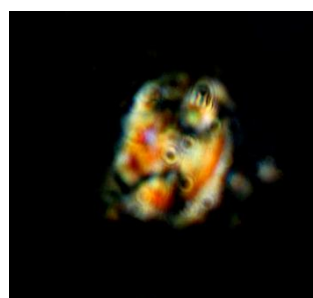
*Conusphaera Mexicana*  
Image #7 Kalat sec.



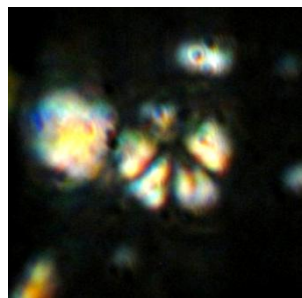
*Perissocyclus plethoretus*  
Image #6 Kalat sec.



*Tetralithus pseudotrifidus*  
Image #4 Mozduran sec.



*Calculites percenis*  
Image #5 Kalat sec.



*Polycostella beckmanii*  
Image #3 Mozduran sec.



*Holococcolith* sp  
Image #5 Mozduran sec.